# 研究论文

## 脂质组成对硫辛酸脂质纳米粒的制备及其稳定性的影响

## 邹爱华 郑 锴 夏 强 3 叶汝强 牟伯中 1

(1 华东理工大学应用化学研究所 上海 200237; 2 东南大学生物科学与医学工程学院 南京 210096; 3 东南大学苏州市生物医用材料与技术重点实验室 苏州 215123)

摘要采用高压均质法制备硫辛酸(ALA)脂质纳米粒(ALA-NLC),确定了负载 ALA 的最佳体系。通过高效液相色谱、动态光散射、流变等测试研究了脂质成分、含量对 ALA 负载、ALA-NLC 稳定性和分散液流变性质的影响,并用原子力显微镜观察了 ALA-NLC 的形貌。结果表明,脂质/ALA 质量比在 4.5:1~6:1之间,得到的脂质纳米粒分散均匀,颗粒规则;脂质中液态油脂的增加有利于保持 ALA-NLC 的粒径,储存稳定性和分散液的低粘度,并得到两个有望用于食品工业的 ALA-NLC 配方。

关键词 脂质纳米粒 硫辛酸 脂质 高压均质

## Effect of Lipid Matrix on the Preparation and Stability of $\alpha$ -Lipoic Acid Loaded Nanostructured Lipid Carriers

Zou Aihua<sup>1</sup>, Zheng Kai<sup>1</sup>, Xia Qiang<sup>2</sup>, Ye Ruqiang<sup>1</sup>, Mu Bozhong<sup>1\*</sup>
(<sup>1</sup>Institute of Applied Chemistry, East China University of Science and Technology, Shanghai, 200237;

<sup>2</sup>School of Biological Science & Medical Engineering, Southeast University, Nanjing, 210096;

<sup>3</sup>Suzhou Key Laboratory of Biomedical Materials and Technology, Southeast University, Suzhou, 215123)

Abstract Nanostructured lipid carriers of  $\alpha$ -lipoic acid (ALA-NLC) were prepared by high pressure homogenization method. High efficiency liquid chromatography, dynamic light-scattering, rheological measurements were used to determine the lipid matrix effect on the load of ALA, stability of ALA-NLC and rheological property of ALA-NLC dispersions. The morphology of ALA-NLC was observed by AFM. The results showed that the ALA-NLC was the regular nanoparticle when the weight ratio of lipid matrix/ALA ranged between 4.5:1 and 6:1. Moreover, the increase of liquid lipid in the lipid matrix will lead to the improvement of the ALA load, the stability of NLC, and the lower viscosity of ALA-NLC dispersions. Two formulations for dietary supplement of ALA-NLC were obtained.

**Keywords** Nanostructured lipid carriers (NLC),  $\alpha$ -Lipoic acid (ALA), Lipid matrix, High pressure homogenization (HPH)

硫辛酸( $\alpha$ -lipoic acid, ALA)广泛存在于自然界的原核、真核细胞中<sup>[1]</sup>, 是哺乳动物细胞的必须成分,参与新陈代谢<sup>[2]</sup>, 被誉为"万能抗氧化剂"<sup>[3]</sup>。然而,ALA 是脂溶性的,且化学不稳定<sup>[4]</sup>, 使其在医药用品、食品、化妆品生产中作为活性物或功效成分受到很大限制。目前保健品市场上的 ALA 主要被包埋在胶囊及片剂中,虽起到一定保护作用,但因其脂溶性的问题,大部分仍不易被消化吸收,生物利用度不高。

纳米结构脂质载体(Nanostructured Lipid Carrier, NLC)被Müller等<sup>[5]</sup>称为第二代脂质纳米粒(Lipid nanoparticles)载体系统,具有良好的生物相容性及生物利用度<sup>[6]</sup>,常被用于药物负载。与第一代固体脂质纳米粒(Solid Lipid Nanoparticles, SLN)一样,都是通过将油/水(O/W)型乳状液中液态脂质替换为固

邹爱华 女 刷教授 从事胶体与界面化学研究。\* 联系人 Email: bzmu@ecust.edu.cn 科技部国际合作重大项目(2008DFB50060)及教育部博士点新教师基金项目(200802511024)资助 2009-11-19 收稿 2010-01-04 接受

态脂质而得到 还克服了 SLN 中活性物泄露等不足。近年来由于技术上的进展 特别是高压均质法在 脂质纳米粒制备上的运用,在国外脂质纳米粒已经在化妆品领域得到工业化运用<sup>[7,8]</sup>。2005年, Müller 等<sup>[8]</sup>成功制备了硫辛酸固体脂质纳米粒(ALA-SLN),对 ALA 有保护作用,又有利于皮肤吸收,但是,制 备得到的 ALA-SLN 粒径较大(大部分在放置 1 个月后超过 1 μm),流变性质研究表明需在胶体或粘稠 液体中才较稳定。目前国内外还鲜见有关 ALA 脂质纳米粒在食品应用上的研究报道。笔者利用食品 级原料 ,用高压均质法制备了负载有 ALA 的纳米结构脂质载体(ALA-NLC) ,并通过高效液相色谱、动态 光散射、流变测试研究了脂质的成分、含量及储存时间对 ALA 负载、NLC 稳定及分散液流变性质的影 响,并用原子力显微镜观察了ALA-NLC的形貌。

## 实验部分

#### 1.1 材料与仪器

硫辛酸(ALA,99.5(wt)%)(常熟富士莱医药化工有限公司),磷酸二氢钾(99.5(wt)%)(上海睿 腾化工),甲醇、乙腈 (色谱纯 ,上海凌峰化学试剂有限公司);磷酸 (分析纯 ,上海国药集团)。

单硬脂酸甘油酯(GMS)、单月桂酸甘油酯(GML)(河南正通化工有限公司);辛癸酸甘油酯(ODO) (杭州硕亚油脂化工厂);聚甘油脂肪酸酯(Q-12)(上海露露食品配料有限公司);大豆卵磷脂(SPC)(北 京美亚斯磷脂技术有限公司)。以上皆为食品级。

苏州微流纳米生物技术有限公司NanoGenizer高压均质机;德国 Fluko 高速匀质机;苏州微流纳米生物技术 有限公司 Nicomp380 Z3000纳米粒度仪;日本 Jasco 公司高效液相色谱系统:配有 CO-2060 柱温箱及 UV-2075 紫外检测器;大连依利特Hypersil ODS2 色谱柱(4.6mm × 250mm,5μm);苏州海兹思纳米科技有限公司 Nanofirst-3100 原子力显微镜;美国博力飞 DV-III + 流变仪;上海和泰 Hitech-Kflow RO 反渗透去离子纯水机;上 海瑞枫 PURIST超纯水系统。

#### 1.2 实验方法

1.2.1 高压均质法制备 ALA-NLC 水分散液 把 GMS、GML 和 ODO 按一定比例混合 ,在 GMS/GML 质量

比为 3:1不变条件下,改变液态油酯 ODO 含量,使其占总脂质含量的 10(wt)% 和 40(wt)%,分别作为
脂质 L1 和 L2(表 1)。聚甘油脂肪酸酯 Q-12 与 SPC 以质量比 9:1混合作为乳化剂。ALA-NLC 的配方
(L1mn 和 $L2mn$ )如表 $1$ 所示 ,剩余部分为去离子水。将 ALA 溶解在 $55$ $℃$ 熔融的脂质当中 ,同温条件下
倒入混合乳化剂水溶液后 ,用高速匀质机(12000 r/min) 剪切 1 min 制成初乳 ,再倒入高压均质机料杯
中 ,在 50MPa 压力下做 3 循环均质。将均质后的高温乳液冷却至室温即为 ALA-NLC 水分散液。
表 1 ALA-NLC (L1 mn, L2 mn)配方

配方	脂质	脂质用量(m/(wt)%)	ALA 用量(n/(wt)%)	乳化剂用量/(wt)%
L131	L1	3	1	3
L161	L1	6	1	3
L191	L1	9	1	3
L162	L1	6	2	3
L192	L1	9	2	3
L231	L2	3	1	3
L261	L2	6	1	3
L291	L2	9	1	3
L262	L2	6	2	3
L292	L2	9	2	3

Tab. 1 The formulations for ALA-NLC (L1 mn, L2 mn)

1.2.2 ALA 含量的高效液相色谱(HPLC)测定 色谱条件: 采用美国药典(USP30: Alpha-lipoic acid) 色谱分析方法,以甲醇/乙腈/0.005 mol/L磷酸二氢钾水溶液(配比为1160/920/180,用磷酸水溶液调 pH 至 3.0 ~ 3.1) 为流动相 柱温为 35℃ 检测波长为 215nm ,进样量 20μL。ALA 及 ALA-NLC 样品皆用 乙腈 /0.005 mol/L 磷酸二氢钾水溶液 (1/1,用磷酸水溶液调 pH 至 3.5 ~ 3.7) 标准溶剂溶解。

ALA 标准曲线: 分别配制 ALA 浓度为  $0.25 \times 0.50 \times 0.75 \times 1.00 \times 1.25 \text{ mg/mL}$  的标准溶液进行进样,以所得峰面积为横坐标,以浓度为纵坐标,绘制 ALA 标准曲线。

样品浓度的测定:精确称取一定质量的 ALA-NLC 分散液 ,用标准溶液定容后进样 ,将所得峰面积通过 ALA 标准曲线计算即可求得样品中 ALA 的浓度。

- 1.2.3 ALA-NLC 的动态光散射(DLS) 测定 采用 Nano ZS90 纳米粒度仪 在测试温度 25 ℃、测试角度 90°和平衡时间 4min 的条件下 测定 ALA-NLC 水分散液的平均粒径及多分散指数(PDI)。
- 1. 2. 4 流变分析 采用博力飞 DV-III + 流变仪 SC4-18 号转子 ,在 25  $^{\circ}$  温度下测定样品表观粘度及剪 切率与粘度关系曲线。
- 1.2.5 原子力显微镜(AFM)测定 取经超纯水稀释后的 ALA-NLC 分散液 2 滴滴至新鲜剥离的云母片上 ,采用旋涂法制备样品 ,经真空干燥后进行 AFM 测试 ,测试模式为轻敲模式。

## 2 结果与讨论

#### 2.1 脂质对 ALA-NLC 负载的影响

NLC 比 SLN 的优点在于不用单一油脂作为脂质 ,而是通过固/固或固/液混合的形式克服 SLN 载药量低及在结晶过程药物泄露等不足。本文在固定乳化剂含量不变的条件下 ,采用在熔融条件 (或高于脂质熔点  $5\sim10^{\circ}$ C 的制备温度) 下能较好溶解 ALA 的 2 种固态油脂以及 1 种液态油脂以一定比例混合作为脂质 ,通过改变液态油脂含量、脂质/ALA 质量比来达到最佳负载结果并提高样品在储存过程中的稳定性。

2. 1. 1 ALA-NLC 水分散液中 ALA 含量变化及脂质/ALA 质量比 图 1 为根据美国药典 (USP30: Alpha-lipoic acid) 方法测定得到的 ALA 的液相色谱图 ,其保留时间为 6. 8 min。通过 0. 25、0. 50、0. 75、1.  $00 \times 1. 25 \, \text{mg/mL}$  的 ALA 标准溶液及相应的 HPLC 的积分面积结果 ,以积分面积为自变量 x ,以浓度为因变量 y 得到标准曲线方程:  $y = 2 \times 10^{-7} x - 0.0221 (R^2 = 0.9996)$  ,再通过 HPLC 测得表 1 中所列配方样品所对应的积分面积 ,计算得到在室温储存 1 天和 1 个月的 ALA-NLC 分散液中 ALA 含量变化 (如图 2 所示)。

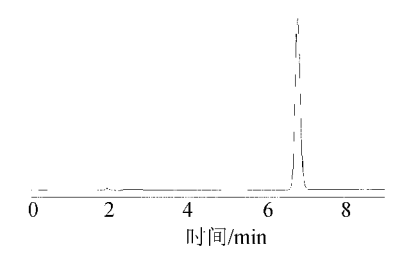


图 1 ALA 液相色谱图

Fig. 1 HPLC measurement for ALA

由图 2 可知 在 ALA 负载不变(1(wt)%)而增加脂质含量(以下皆以 L1 脂质为例 ,L2 脂质类同)的情况下 ,I 个月后 ALA 含量 L131 < L161(0.93(wt)% , L261 同),继续增加脂质含量 ,ALA 的负载只是微弱提高(L191(0.94(wt)%));而且 ,新鲜制备的 L161 配方 ALA 含量为 0.94(wt)% ,I 个月后只降 0.01(wt)% (L191 类同)。因此 ,适度增加脂质含量有利于 ALA 的负载及稳定。在保持脂质量不变而增加 ALA 的负载的情况下 ,I 个月后 ,L162 的 ALA 含量(1.11(wt)%)只是比 L161 略高些 ,但 L192 (1.74(wt)%)近于 L191 的 2 倍 ,这说明提高 ALA 的负载量需要更大的脂质/ALA 质量比 ,至少不小于 4.5:1(L192) 的脂质/ALA 质量比)。此外,液态油脂含量不同的两组配方(1.11(wt)%)大些,对此将在流变测试分析中进一步解释。综合以上分析 ,脂质/ALA 质量比在 1.5:1 到 1.5:1 2 间有利于 ALA 负载。

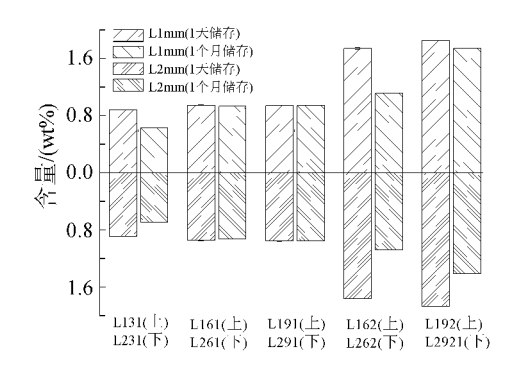


图 2 表 1 中所列 ALA-NLC 样品储存 1 个月的 ALA 含量变化

Fig. 2 The content changes of  $\alpha$ -lipoic acid in ALA-NLC samples (Tab. 1) by 1 month storage

2. 1. 2 ALA-NLC 水分散液的粒径随时间的变化 粒径变化是衡量 NLC 储存时间稳定性的重要参数之一  $^{[9]}$ 。一般 随着储存时间的增加 粒径会增加 越稳定的配方 粒径变化越小。图 3 示出了不同配方样品在储存 1 个月后的平均粒径变化情况。从图 3 可以看出 ,脂质含量及 ALA 负载量的增加 ,平均粒径都相应增大。从时间稳定性上看 ,经过 1 个月的储存 ,平均粒径变大。这一变化趋势与文献报道的硫辛酸固体脂质纳米粒 (ALA-SLN) 的结果是一致的。Souto 等  $^{[8]}$ 对硫辛酸固体脂质纳米粒 (ALA-SLN) 的化妆品配方进行粒径测试表明,在 60%条件下制备的 ALA-SLN 在 20% 储存 1 天后的粒径就由原先的 717. 5 nm 变为 1386. 9 nm ,1 个月后为 1649. 0 nm。

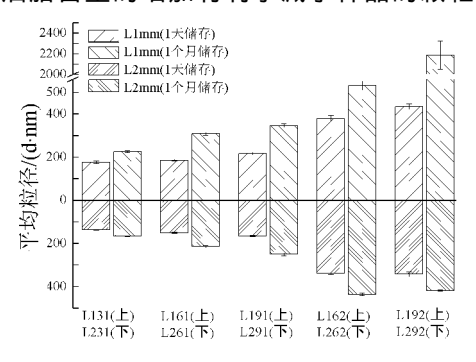


图 3 表 1 中所列样品储存 1 个月的平均粒径变化

Fig. 3 The change of mean particle size for ALA-NLC samples (Tab. 1) by 1 month storage

#### 2.2 ALA-NLC 水分散液的流变性

高压均质制备所得到的新鲜样品(表 1 中的 10 个配方)的 ALA-NLC 水分散液表观粘度很低,样品的粘度基本不随剪切速度而变化,如图 4 所示(其它样品曲线趋势类同于配方 L192 曲线,不再在图中添加,只将表观粘度列于表 2 中)属牛顿型流体。室温储存 1 个月后,大部分样品的表观粘度与储存 1 天无很大差别。然而,L192 样品在储存 1 个月后粘度增大,且随着剪切速率的增大出现稀化现象,由牛顿型流体转变为非牛顿型流体。Müller等[10,11]曾用高压均质法制备脂质含量高达 50 (wt)%或60 (wt)%的脂质纳米粒分散液,尽管它们并未形成两亲的膏状结构且颗粒完整,随着脂质含量的增加,纳米粒分散液变稠,有的会形成膏状或固体形式。Souto等[12]采用动态振荡频率扫描实验表明,脂质中液态油脂对粘弹性影响显著,而粘弹性参数影响着粒径大小、固态油脂的结晶情况等。样品 L192 粘度

大,对药物泄露有一定的抑制作用,这也解释了L192中ALA含量比L292高的原因;然而脂质中液态油脂较低,结晶较快,粘度变化幅度较大,导致其在储存过程粒径变化幅度也大,颗粒不稳定。进一步比较L292可知,在1个月内,其粘度、粒径变化很小,样品相对稳定。所以脂质中液态油脂的增加,对样品在储存过程中保持流体粘度稳定有利,进而影响颗粒粒径和储存稳定性。

表 2 表 1 中所列 ALA-NLC 样品储存 1 个月的表观粘度

Tab. 2	The apparent visco	sity for the ALA-NLC	samples by 1	month storage

表观粘度(S.D. = ±0.1mPa・s,剪切速率为40s <sup>-1</sup> )								
配方	L131	L161	L191	L162	L192			
1 天储存	2. 1	2. 4	2. 8	2. 9	3.6			
1 个月储存	2. 4	2. 6	3.7	3.7	80			
配方	L231	L261	L291	L262	L292			
1 天储存	2. 1	2. 1	2.4	3.6	3			
1 个月储存	2.4	2.8	3. 1	5. 6	4			

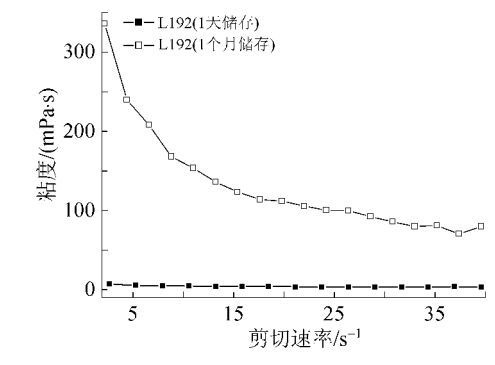


图 4 L192 样品的剪切速率-粘度曲线

Fig. 4 The shear rate-viscosity curves of the sample L192 by 1 month storage

#### 2.3 ALA-NLC 的颗粒分散及 AFM 形貌

动态光散射(DLS)测试表明 表 1 中的 10 个配方经 1 天或 1 个月储存 ,PDI 值介于  $0.03 \sim 0.2$  ,基本都小于 0.3 ,样品颗粒分散均匀 , L192 样品除外(已超过 DLS 测试精度)。就脂质纳米粒而言  $[^{9}]$  ,其目标粒径大小为  $80 \sim 1000$  nm ,NLC 是兼顾 SLN 目标基础上进行脂质上的改进 ,所以 L192 配方虽然在负载 ALA 上有优势 ,但粒径与粘度变化过大 ,作为脂质纳米粒有待商榷。L292 配方在脂质及乳化剂选择上也有待进一步优化 ,以提高 ALA 的负载及保护作用。

综合 HPLC、DLS 及流变分析的结果,可以认为在 1(wt)% ALA 负载上有两个较好配方 L161 和 L261,它们的 AFM 照片如图 5 所示。图 5(a) 中一些颗粒的水平直径为  $312.5\,nm$ ,图 5(b) 中颗粒的水平直径为  $273.4\,nm$ ,该结果与 DLS 测试的平均粒径分别为  $307.8\pm7.1\,nm$  和  $215.1\pm5.5\,nm$  基本相符。从 PDI 值及图 5 可以看出,高压均质制备的样品颗粒分散均匀,较规则,近于椭球形。

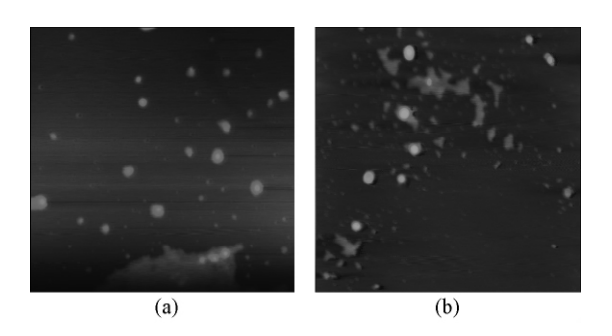


图 5 配方 L161(a)和 L261(b)样品的原子力显微镜照片 Fig. 5 AFM images of sample L161 (a) and L261 (b)

## 3 结论

#### 参 考 文 献

- [1] J Fuchs, L Packer, G Zimmer. Lipoic Acid in Health and Disease. New York: Marcel Dekker Publications, 1997.
- [2] L. Packer, M. Hiramatsu, T. Yoshikawa. Antioxidant Food Supplements in Human Health. San Diego: Academic Press, 1999.
- [3] V E Kagan , A Shvedova , E Serbinova et al. Biochem. Pharmacol. ,1992 ,44: 1637 ~1649.
- [4] A F Wagner, E Walton, G E Boxer et al. J. Am. Chem. Soc., 1956, 78(19): 5079 ~ 5081.
- [5] R H Müller. Adv. Drug Delivery Rev., 2007, 59(6): 375 ~ 376.
- [6] M Radtke, E B Souto, R H Müller. Pharma. Tech. Eur., 2005, 17(4): 45~50.
- [7] J Pardeike , A Hommoss , R H Müller. Int. J. Pharm. , 2009 , 366: 170  $\sim$  184.
- [8] E B Souto, R H Müller, S Gohla. J. Microencap., 2005, 22(6): 581 ~ 592.
- [9] M Üner. Pharmazie, 2006, 61: 375 ~ 386.
- [10] R H Müller , M Radtke , S A Wissing. Adv. Drug Delivery Rev. , 2002 , 54: 131  $\sim155.$
- [11 ] R H Müller , M Radtke , S A Wissing. Int. J. Pharma. ,2002 ,242: 121  $\sim$  128.
- [12] E B Souto , S A Wissing , C M Barbosa et al. J. Cosmet. Sci. , 2004 , 55: 463  $\sim\!471.$